

MW
0709 1000.
[Signature]

Gdynia, 31.08.2020 r.

SP/854/8/2020/JN

WPLYNEŁO DO STAROSTWA
POWIATOWEGO W DRAWSKU POM.
04. 09. 2020 OS *1
znak spr. 10198/20
zat. [Signature] szluk

Starostwo Powiatowe w Drawsku Pomorskim
Wydział Ochrony Środowiska
Plac Elizy Orzeszkowej 3
78-500 Drawsko Pomorskie

PROWADZACY INSTALACJE Polkomtel Infrastruktura Sp. z o.o., ul. Konstruktorska 4, 02-673 Warszawa

DOTYCZY: Stacji bazowej telefonii komórkowej BT43293 KALISZ POMORSKI
Zlokalizowanej pod adresem: dz. nr 16/2, obręb 0009 Kalisz Pomorski, gmina
Kalisz Pomorski, powiat drawski, woj. zachodniopomorskie

Działając w imieniu inwestora w trybie art. 152 ust. 6 pkt. 1 ustawy z dnia 27 kwietnia 2001r. Prawo Ochrony Środowiska (tekst jedn.: Dz. U. z 2020 r. poz. 1219) informuję o zmianie danych zawartych w zgłoszeniu instalacji stacji bazowej telefonii komórkowej BT43293 KALISZ POMORSKI zlokalizowanej pod adresem dz. nr 16/2, obręb 0009 Kalisz Pomorski, gmina Kalisz Pomorski, powiat drawski, woj. zachodniopomorskie.

Z poważaniem

Adres korespondencyjny:

Axians Networks Poland Sp. z o.o.
Ul. Rdestowa 51; 81-577 Gdynia

W załączeniu:

- 1) Upoważnienie inwestora
- 2) Sprawozdanie z pomiarów pól elektromagnetycznych dla celów ochrony ludności i środowiska
- 3) Formularz zgłoszenia instalacji

FORMULARZ ZMIANY DANYCH W ZGŁOSZENIU INSTALACJI WYTWARZAJĄCYCH POLA ELEKTROMAGNETYCZNE

I. Wypełnia podmiot prowadzący instalację dokonujący jej zgłoszenia

1. Nazwa i adres organu ochrony środowiska właściwego do przyjęcia zgłoszenia
*Starostwo Powiatowe w Drawsku Pomorskim
Wydział Ochrony Środowiska
Plac Elizy Orzeszkowej 3
78-500 Drawsko Pomorskie*
2. Nazwa instalacji zgodna z nazewnictwem stosowanym przez prowadzącego instalację
stacja bazowa BT43293 KALISZ POMORSKI (ext. 27)
3. Określenie nazw jednostek terytorialnych (gmin, powiatów i województw), na których terenie znajduje się instalacja, wraz z podaniem symboli KTS¹⁾ jednostek terytorialnych, na których terenie znajduje się instalacja
*KTS1 1002000000000 PÓŁNOCNO-ZACHODNI
KTS2 1002320000000 Zachodniopomorskie
KTS3 10023210000000 Zachodniopomorskie
KTS4 10023216400000 Szczecinecko-pyrzycki
KTS5 10023216403000 drawski
KTS6 10023216403034 Kalisz Pomorski*
4. Oznaczenie prowadzącego instalację, jego adres zamieszkania lub siedziby
Prowadzący instalację: Polkomtel Infrastruktura Sp. z o.o., ul. Konstruktorska 4, 02-673 Warszawa;
5. Adres zakładu, na którego terenie prowadzona jest eksploatacja instalacji
dz. nr 16/2, obręb 0009 Kalisz Pomorski gmina Kalisz Pomorski; powiat drawski; województwo zachodniopomorskie
6. Rodzaj instalacji, zgodnie z załącznikiem nr 2 do rozporządzenia Ministra Środowiska z dnia 2 lipca 2010 r. w sprawie zgłoszenia instalacji wytwarzających pola elektromagnetyczne (Dz. U. Nr 130, poz. 879)
instalacje radiokomunikacyjne, których równoważna moc promieniowania izotropowo wynosi nie mniej niż 15W, emitujące pola elektromagnetyczne o częstotliwościach od 30 kHz do 300 GHz
7. Rodzaj i zakres prowadzonej działalności, w tym wielkość produkcji lub wielkość świadczonych usług
działalność w zakresie telekomunikacji przewodowej i bezprzewodowej.
8. Czas funkcjonowania instalacji (dni tygodnia i godziny)
7 dni w tygodniu, 24 godziny na dobę
9. Wielkość i rodzaj emisji²⁾
*sumaryczna moc EIRP anten sektorowych 103399 W
sumaryczna moc EIRP anten radioliniowych 36248 W*
10. Opis stosowanych metod ograniczania emisji
Parametry stacji bazowej zostały tak dobrane, aby ponadnormatywny poziom pola elektromagnetycznego nie występował w miejscach dostępnych dla ludności.
11. Informacja, czy stopień ograniczania wielkości emisji jest zgodny z obowiązującymi przepisami
W miejscach dostępnych dla ludności poziom pola elektromagnetycznego nie przekracza wartości ponadnormatywnych.
12. Szczegółowe dane, odpowiednio do rodzaju instalacji, zgodne z wymaganiami określonymi w załączniku nr 2 do rozporządzenia:

| 1) współrzędne geograficzne anten | 2) częstotliwość pracy | 3) wysokości środków elektrycznych anten nad poziomem terenu | 4) EIRP - równoważna moc promieniowana izotropowo | 5) zakresy azymutów i kątów pochylecia osi głównych wiązek promieniowania |
|-----------------------------------|------------------------|--|---|---|
| 53-17-11.68N 15-54-06.97E | 900 Mhz | 55,50 m | 11967 W | Azymut 15° Pochylenie 0°-8° |
| 53-17-11.68N 15-54-06.97E | 900 Mhz | 63,50 m | 12264 W | Azymut 125° Pochylenie 0°-8° |
| 53-17-11.68N 15-54-06.97E | 900 Mhz | 63,50 m | 6585 W | Azymut 2280° Pochylenie 0°-8° |
| 53-17-11.68N 15-54-06.97E | 1800 Mhz | 55,00 m | 4935 W | Azymut 20° Pochylenie 0°-6° |
| 53-17-11.68N 15-54-06.97E | 1800 Mhz | 55,00 m | 4935 W | Azymut 140° Pochylenie 0°-6° |
| 53-17-11.68N 15-54-06.97E | 1800 Mhz | 55,00 m | 4935 W | Azymut 260° Pochylenie 0°-6° |
| 53-17-11.68N 15-54-06.97E | 2100 Mhz | 31,00 m | 3695 W | Azymut 20° Pochylenie 0°-6° |
| 53-17-11.68N 15-54-06.97E | 2100 Mhz | 31,00 m | 3695 W | Azymut 250° Pochylenie 0°-6° |
| 53-17-11.68N 15-54-06.97E | 2100 Mhz | 31,00 m | 3695 W | Azymut 310° Pochylenie 0°-6° |

| | | | | |
|---|-----------|---------|--------------------|-------------------------------------|
| 53-17-11.68N 15-54-06.97E | 2600 Mhz | 52,00 m | 5620 W | Azymut 40° Pochylenie -2°-8° |
| 53-17-11.68N 15-54-06.97E | 2600 Mhz | 52,00 m | 5492 W | Azymut 120° Pochylenie 0°-6° |
| 53-17-11.68N 15-54-06.97E | 2600 Mhz | 52,00 m | 5492 W | Azymut 230° Pochylenie 0°-6° |
| 53-17-11.68N 15-54-06.97E | 2600 Mhz | 52,00 m | 5620 W | Azymut 300° Pochylenie -1,80°-8° |
| 53-17-11.68N 15-54-06.97E | 2600 Mhz | 52,00 m | 5620 W | Azymut 355° Pochylenie -2,4°-8° |
| 53-17-11.68N 15-54-06.97E | 900 Mhz | 55,00 m | 6585 W | Azymut 70° Pochylenie 0°-8° |
| 53-17-11.68N 15-54-06.97E | 900 Mhz | 55,00 m | 12264 W | Azymut 220° Pochylenie 0°-8° |
| 53-17-11.68N 15-54-06.97E | 13 GHz | 67,30 m | 8511,38 W | Azymut 5° |
| 53-17-11.68N 15-54-06.97E | 23 GHz | 34,10 m | 5888,44 W | Azymut 152° |
| 53-17-11.68N 15-54-06.97E | 18 GHz D2 | 67,30 m | 4677,35 W | Azymut 159° |
| 53-17-11.68N 15-54-06.97E | 23 GHz | 39,10 m | 5888,44 W | Azymut 229° |
| 53-17-11.68N 15-54-06.97E | 13 GHz | 57,80 m | 3981,07 W | Azymut 241° |
| 53-17-11.68N 15-54-06.97E | 23 GHz | 44,10 m | 5888,44 W | Azymut 271° |
| 53-17-11.68N 15-54-06.97E | 23 GHz | 67,30 m | 1412,54 W | Azymut 307° |
| G) Na podstawie wykonanej analizy stwierdza się, że w odległościach od anten sektorowych, określonych zgodnie z Rozporządzeniem Rady Ministrów z dnia 10 września 2019 r. w sprawie przedsięwzięć mogących znacząco oddziaływać na środowisko (Dz.U z 2019 r. poz. 1839), wzdłuż osi głównych wiązek promieniowania tych anten, nie występują miejsca dostępne dla ludności | | | | |
| 7) Sprawozdanie z pomiarów poziomów pól elektromagnetycznych – załącznik nr 2 | | | | |
| 13. Miejscowość, data (rok - miesiąc - dzień): Imię i nazwisko osoby reprezentującej prowadzącą instalację | | | | |
| | | | | |
| | | | | |
| Podpis | | | Gdynia, 31.08.2020 | |
| II. Wypełnia organ ochrony środowiska przyjmujący zgłoszenie | | | | |
| Data zarejestrowania zgłoszenia | | | Numer zgłoszenia | |
| | | | | |

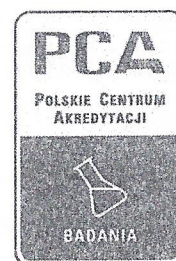
Objaśnienia:

- 1) System Kodowania Jednostek Terytorialnych i Statystycznych (KTS) wprowadzony Zarządzeniem wewnętrznym nr 22 Prezesa Głównego Urzędu Statystycznego z dnia 24 sierpnia 2017 r. w sprawie wprowadzenia Systemu Kodowania Jednostek Terytorialnych i Statystycznych
- 2) W przypadku stacji elektroenergetycznych i napowietrznych linii elektroenergetycznych - napięcie znamionowe, a w przypadku pozostałych instalacji - równoważne moce promieniowane izotropowo (EIRP) poszczególnych anten.
- 3) Liczba porządkowa zgodna z numeracją punktów w odpowiednich do rodzaju instalacji ustępach załącznika nr 2 do rozporządzenia.



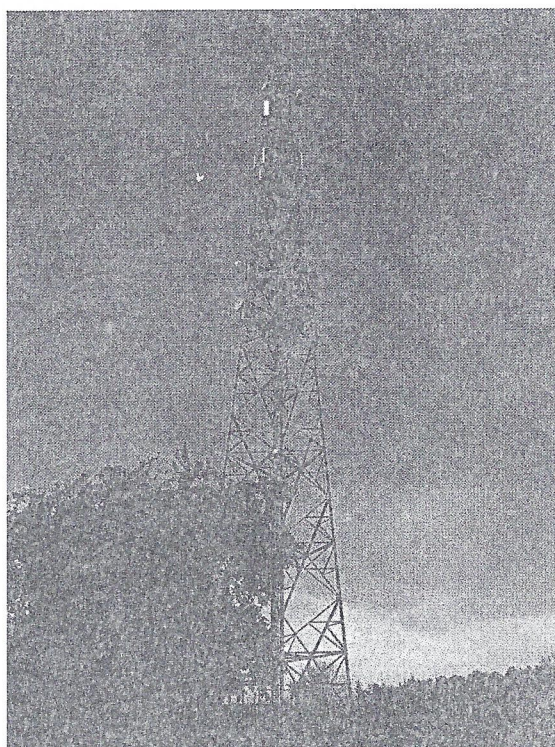
ul. Jasna 1
00-013 Warszawa

tel. +48 22 780 29 64
e-mail: laboratorium@emvo.pl



AB 1630

Sprawozdanie z pomiarów pól elektromagnetycznych - środowisko ogólne
nr 11/08/OŚ/2020 - ELT



| | | |
|-------------------|--|--------------------------|
| Nr i nazwa stacji | BT43293 KALISZ POMORSKI | |
| Adres | Kalisz Pomorski, ul. Lipinki 4, dz. nr 16/2, pow. drawski, woj. zachodniopomorskie | |
| Opracowanie | | Specjalista ds. pomiarów |
| Autoryzacja | | Kierownik Laboratorium |
| Podpis | | |
| Data | 2020-08-14 | |

„Bez pisemnej zgody Laboratorium niniejsze sprawozdanie nie może być powielane inaczej, jak tylko w całości. Ponadto wyniki dotyczą tylko badanych obiektów przywołanych w niniejszym sprawozdaniu z badań”
11/08/OŚ/2020 - ELT

Spis treści

| | |
|---|----|
| 1. Informacje ogólne..... | 3 |
| 2. Podstawa prawna..... | 3 |
| 3. Opis pomiarów..... | 3 |
| 4. Zróżnicowanie dopuszczalne poziomy pól elektromagnetycznych..... | 4 |
| 5. Charakterystyka źródeł PEM..... | 4 |
| 6. Wyniki pomiarów..... | 5 |
| 7. Stwierdzenie zgodności..... | 12 |
| 8. Oświadczenie..... | 12 |
| 9. Spis załączników..... | 12 |

1. Informacje ogólne.

| | |
|--|---|
| Zleceniodawca | Axians Networks Poland Sp. z o.o., ul. Żupnicza 17, 03-821 Warszawa osoba udzielająca informacji – |
| Istotne informacje dostarczone przez zleceniodawcę | komplet informacji niezbędnych do wykonania pomiarów i opracowania sprawozdania |
| Prowadzący instalację | Polkomtel Infrastruktura sp. z o.o., ul. Konstruktorska 4, 02-673 Warszawa |
| Lokalizacja obiektu | Kalisz Pomorski, ul. Lipinki 4, dz. nr 16/2, pow. drawski, woj. zachodniopomorskie |
| Miejsce instalacji anten | stalowa wieża kratowa |
| Miejsce instalacji urządzeń | kontener |
| Osoby wykonujące pomiar | |
| Data wykonania pomiaru | 2020-08-14 |
| Temperatura na początku pomiaru [°C] | 23 |
| Temperatura na koniec pomiaru [°C] | 28 |
| Warunki atmosferyczne | Brak opadów. |
| Wilgotność na początku pomiaru [%] | 52 |
| Wilgotność na koniec pomiaru [%] | 38 |
| Inne źródła pól elektromagnetycznych | występują |
| Parametry pracy instalacji | eksploatacyjne |

2. Podstawa prawna.

2.1 Normy i rozporządzenia:

- Rozporządzeniem Ministra Klimatu z dnia 17 lutego 2020 r. w sprawie sposobów sprawdzania dotrzymania dopuszczalnych poziomów pól elektromagnetycznych w środowisku (Dz.U. 2020 poz. 258)
- Rozporządzenie Ministra Zdrowia z dnia 17 grudnia 2019 r. w sprawie dopuszczalnych poziomów pól elektromagnetycznych w środowisku (Dz.U. 2019 poz. 2448)
- Obwieszczenie Marszałka Sejmu Rzeczypospolitej Polskiej z dnia 19 lipca 2019 r. w sprawie ogłoszenia jednolitego tekstu ustawy - Prawo ochrony środowiska (Dz.U. 2019 poz. 1396).

3. Opis pomiarów.

Metodologia pomiarowa

Pomiary w oparciu o Rozporządzeniem Ministra Klimatu z dnia 17 lutego 2020 r. w sprawie sposobów sprawdzania dotrzymania dopuszczalnych poziomów pól elektromagnetycznych w środowisku (Dz.U. 2020 poz. 258).

Cel badań

Określenie wartości natężenia pola elektrycznego w miejscach dostępnych dla ludności.

Opis zestawu pomiarowego

Miernik Narda NBM 520, Sonda EF 9091, o zakresie pomiarowym 0,7 V/m - 400V/m pracująca w paśmie 0,1 – 90 GHz, świadectwo wydane przez Laboratorium Wzorców i Metrologii Pola Elektromagnetycznego, Instytut Telekomunikacji, Teleinformatyki i Akustyki Politechniki Wrocławskiej.

Wyposażenie pomocnicze

Świadectwo ważne do 15.07.2021r. Miernik Narda NBM 520, Sonda EF 9091 pracuje w zakresie temperatury -10°C - +50°C oraz wilgotności 5% - 95% Niepewność rozszerzona wynosi 57,4% przy poziomie ufności 95% z uwzględnieniem współczynnika rozszerzenia k=2.

Termohigrometr Termoprodukt, typ: Termik+, nr identyfikacyjny 700618, świadectwo wzorcowania nr 1763/AH/19 z dn. 29.07.2019 r. wydane przez Laboratorium Pomiarowe "MUTECH".

Przymiar wstęgowy STABILA, nr identyfikacyjny 31WL, świadectwo wzorcowania nr 6W1/1826/19 z dn. 02.08.2019 r. wydane przez Dyrektora Okręgowego Urzędu Miar w Gdańsku.

GPS Garmin 64s okresowo sprawdzany w punktach osnowy geodezyjnej klasy 3 na podstawie licencji punktu, zgodnie z procedurą sprawdzeń okresowych IS/PO16-11/03.

Szczególne warunki podczas wykonywania pomiarów

Pomiary wykonane zostały podczas obowiązywania w kraju stanu epidemii, zgodnie z art. 122a ust. 1b Ustawy z dnia 27 kwietnia 2001 r. – Prawo ochrony środowiska (Dz. U. z 2019 r. poz. 1396, z późn. zm.9))

4. Zróżnicowanie dopuszczalne poziomy pól elektromagnetycznych.

Zakresy znajdują się w Dzienniku Ustaw z dnia 17 grudnia 2019 r. przedstawione są w tabeli nr 2 (Dz. U. z 2019r. poz. 2448).

| Parametr fizyczny | Składowa elektryczna E (V/m) | Składowa magnetyczna H (A/m) | Gęstość mocy S (W/m ²) |
|---|------------------------------|------------------------------|------------------------------------|
| Zakres Częstotliwości pola elektromagnetycznego | | | |
| od 400 MHz do 2000 MHz | $1,375 \times f^{0,5}$ | $0,0037 \times f^{0,5}$ | f / 200 |
| od 2 GHz do 300 GHz | 61 | 0,16 | 10 |

5. Charakterystyka źródeł PEM.

Zgodnie z informacją otrzymaną od Zleceniodawcy pomiary zostały wykonane przy ustawieniach pochylenia anten zgodnych z pkt. 13, ppkt 2 załącznika do rozporządzenia Ministra Klimatu z dnia 17 lutego 2020 roku.

Anteny sektorowe

| Typ anteny | Współrzędne geograficzne | Azymut [°] | Wysokość zawieszenia anten (środek anteny) n.p.t. [m] | Pasma częstotliwości | Zakres pochylenia elektrycznego [°] | Średnie pochylenie anten (ustawione do pomiarów PEM) [°] | Zakres pochylenia mechanicznego [°] | Moc EIRP [W] |
|------------|---------------------------------------|------------|---|----------------------|-------------------------------------|--|-------------------------------------|--------------|
| 742213 | E: 15° 54' 7,06" N: 53° 17' 11,52" | 20 | 31,00 | 2100 | 0 - 6 | 3 | 0 | 3695 |
| 742213 | E: 15° 54' 7,06" N: 53° 17' 11,52" | 250 | 31,00 | 2100 | 0 - 6 | 3 | 0 | 3695 |
| 742213 | E: 15° 54' 7,06" N: 53° 17' 11,52" | 310 | 31,00 | 2100 | 0 - 6 | 3 | 0 | 3695 |
| 80010678 | E: 15° 54' 7,06" N: 53° 17' 11,52" | 40 | 52,00 | 2600 | 2,8 - 8 | 5,4 | -2,8 | 5620 |
| 80010651 | E: 15° 54' 7,06" N: 53° 17' 11,52" | 120 | 52,00 | 2600 | 0 - 6 | 3 | 0 | 5492 |
| 80010651 | E: 15° 54' 7,06" N: 53° 17' 11,52" | 230 | 52,00 | 2600 | 0 - 6 | 3 | 0 | 5492 |
| 80010678 | E: 15° 54' 7,06" N: 53° 17' 11,52" | 300 | 52,00 | 2600 | 2 - 8 | 5 | -1,8 | 5620 |

„Bez pisemnej zgody Laboratorium niniejsze sprawozdanie nie może być powielane inaczej, jak tylko w całości. Ponadto wyniki dotyczą tylko badanych obiektów przywołanych w niniejszym sprawozdaniu z badań”

| | | | | | | | | |
|--------------|---------------------------------------|-----|-------|------|---------|-----|------|-------|
| 30010678 | E: 15° 54' 7,06" N: 53° 17' 11,52" | 355 | 52,00 | 2600 | 2,4 - 8 | 5,2 | -2,4 | 5620 |
| 742213 | E: 15° 54' 7,06" N: 53° 17' 11,52" | 20 | 55,00 | 1800 | 0 - 6 | 3 | 0 | 4935 |
| A794517R0V06 | E: 15° 54' 7,06" N: 53° 17' 11,52" | 70 | 55,00 | 900 | 0 - 8 | 4 | 0 | 6585 |
| 742213 | E: 15° 54' 7,06" N: 53° 17' 11,52" | 140 | 55,00 | 1800 | 0 - 6 | 3 | 0 | 4935 |
| A704521R0V06 | E: 15° 54' 7,06" N: 53° 17' 11,52" | 220 | 55,00 | 900 | 0 - 8 | 4 | 0 | 12264 |
| 742213 | E: 15° 54' 7,06" N: 53° 17' 11,52" | 260 | 55,00 | 1800 | 0 - 6 | 3 | 0 | 4935 |
| A704521R0V06 | E: 15° 54' 7,06" N: 53° 17' 11,52" | 15 | 55,50 | 900 | 0 - 8 | 4 | 0 | 11967 |
| A704521R0V06 | E: 15° 54' 7,06" N: 53° 17' 11,52" | 125 | 63,50 | 900 | 0 - 8 | 4 | 0 | 12264 |
| A794517R0V06 | E: 15° 54' 7,06" N: 53° 17' 11,52" | 280 | 63,50 | 900 | 0 - 8 | 4 | 0 | 6585 |

Anteny radioliniowe

| Typ anteny | Współrzędne geograficzne | Azymut [°] | Średnica [m] | Pasma częstotliwości [GHz] | Zysk energetyczny [dBi] | Moc wyjściowa nadajnika [dBm] | EIRP [W] | Wysokość zawieszenia anteny n.p.t. [m] |
|---------------------|---------------------------------------|------------|--------------|----------------------------|-------------------------|-------------------------------|----------|--|
| UKY 210 51/SC15D | E: 15° 54' 7,06" N: 53° 17' 11,52" | 5 | 1,8 | 13 | 45,3 | 24 | 8511,38 | 67,3 |
| UKY 210 44/SC15 | E: 15° 54' 7,06" N: 53° 17' 11,52" | 152 | 1,2 | 23 | 46,7 | 21 | 5888,44 | 34,1 |
| UKY 210 43/DC15 | E: 15° 54' 7,06" N: 53° 17' 11,52" | 159 | 1,2 | 18 D2 | 44,7 | 22 | 4677,35 | 67,3 |
| UKY 210 44/DC15 | E: 15° 54' 7,06" N: 53° 17' 11,52" | 229 | 1,2 | 23 | 46,7 | 21 | 5888,44 | 39,1 |
| UKY 210 41/DC15 | E: 15° 54' 7,06" N: 53° 17' 11,52" | 241 | 1,2 | 13 | 42,0 | 24 | 3981,07 | 57,8 |
| UKY 210 44/DC15 | E: 15° 54' 7,06" N: 53° 17' 11,52" | 271 | 1,2 | 23 | 46,7 | 21 | 5888,44 | 44,1 |
| UKY 220 45/SC15 | E: 15° 54' 7,06" N: 53° 17' 11,52" | 307 | 0,6 | 23 | 40,5 | 21 | 1412,54 | 67,3 |

6. Wyniki pomiarów.

Wyniki pomiarów pól elektromagnetycznych dla celów ochrony środowiska przedstawia poniższa tabela. Piony pomiarowe zostały przedstawione w zał. 2.

| Nr PP | Pole-E [V/m] | Pole-E*ke,+U [V/m] | Pole-H [A/m] | Pole-H*ke,+U [A/m] | Wys. pomiaru [m] | Opis pionu | Uwagi | WME | WMH |
|-------|--------------|--------------------|--------------|--------------------|------------------|--|---|-----|-----|
| 1 | <0,7* | - | - | - | 1,4 | N: 53° 17' 13,1" E: 15° 54' 7,65" | otoczenie stacji nadawczej - ok. 50 m od obiektu wzdłuż gł. osi promieniowania - GKP | - | - |
| 2 | <0,7* | - | - | - | 1,4 | N: 53° 17' 14,68" E: 15° 54' 8,23" | otoczenie stacji nadawczej - ok. 100 m od obiektu wzdłuż gł. osi promieniowania - GKP | - | - |
| 3 | <0,7* | - | - | - | 1,6 | N: 53° 17' 16,26" E: 15° 54' 8,81" | otoczenie stacji nadawczej - ok. 150 m od obiektu wzdłuż gł. osi promieniowania - GKP | - | - |
| 4 | <0,7* | - | - | - | 1,4 | N: 53° 17' 17,84" E: 15° 54' 9,4" | otoczenie stacji nadawczej - ok. 200 m od obiektu wzdłuż gł. osi promieniowania - GKP | - | - |
| 5 | <0,7* | - | - | - | 1,6 | N: 53° 17' 19,41" E: 15° 54' 9,93" | otoczenie stacji nadawczej - ok. 250 m od obiektu wzdłuż gł. osi promieniowania - GKP | - | - |
| 6 | <0,7* | - | - | - | 1,7 | N: 53° 17' 20,99" E: 15° 54' 10,57" | otoczenie stacji nadawczej - ok. 300 m od obiektu wzdłuż gł. osi promieniowania - GKP | - | - |
| 7 | <0,7* | - | - | - | 1,5 | N: 53° 17' 22,57" E: 15° 54' 11,15" | otoczenie stacji nadawczej - ok. 350 m od obiektu wzdłuż gł. osi promieniowania - GKP | - | - |
| 8 | <0,7* | - | - | - | 1,7 | N: 53° 17' 24,15" E: 15° 54' 11,74" | otoczenie stacji nadawczej - ok. 400 m od obiektu wzdłuż gł. osi promieniowania - GKP | - | - |
| 9 | <0,7* | - | - | - | 1,5 | N: 53° 17' 13,05" E: 15° 54' 8,35" | otoczenie stacji nadawczej - ok. 50 m od obiektu wzdłuż gł. osi promieniowania - GKP | - | - |

„Bez pisemnej zgody Laboratorium niniejsze sprawozdanie nie może być powielane inaczej, jak tylko w całości. Ponadto wyniki dotyczą tylko badanych obiektów przywołanych w niniejszym sprawozdaniu z badań”
11/08/OŚ/2020 - ELT

| | | | | | | | | | |
|----|-------|------|-------|-------|-----|--|---|-------|-------|
| 10 | <0,7* | - | - | - | 1,7 | N: 53° 17' 14,47" E: 15° 54' 9,27" | otoczenie stacji nadawczej - ok. 100 m od obiektu wzdłuż gł. osi promieniowania - GKP | - | - |
| 11 | <0,7* | - | - | - | 1,9 | N: 53° 17' 16,13" E: 15° 54' 9,85" | otoczenie stacji nadawczej - ok. 150 m od obiektu wzdłuż gł. osi promieniowania - GKP | - | - |
| 12 | <0,7* | - | - | - | 1,4 | N: 53° 17' 17,67" E: 15° 54' 10,63" | otoczenie stacji nadawczej - ok. 200 m od obiektu wzdłuż gł. osi promieniowania - GKP | - | - |
| 13 | <0,7* | - | - | - | 1,4 | N: 53° 17' 19,23" E: 15° 54' 11,12" | otoczenie stacji nadawczej - ok. 250 m od obiektu wzdłuż gł. osi promieniowania - GKP | - | - |
| 14 | <0,7* | - | - | - | 1,8 | N: 53° 17' 20,77" E: 15° 54' 11,93" | otoczenie stacji nadawczej - ok. 300 m od obiektu wzdłuż gł. osi promieniowania - GKP | - | - |
| 15 | <0,7* | - | - | - | 1,3 | N: 53° 17' 22,03" E: 15° 54' 15,05" | otoczenie stacji nadawczej - ok. 350 m od obiektu wzdłuż gł. osi promieniowania - GKP | - | - |
| 16 | <0,7* | - | - | - | 1,9 | N: 53° 17' 23,86" E: 15° 54' 13,55" | otoczenie stacji nadawczej - ok. 400 m od obiektu wzdłuż gł. osi promieniowania - GKP | - | - |
| 17 | <0,7* | - | - | - | 1,6 | N: 53° 17' 12,7" E: 15° 54' 9,25" | otoczenie stacji nadawczej - ok. 50 m od obiektu wzdłuż gł. osi promieniowania - GKP | - | - |
| 18 | <0,7* | - | - | - | 1,7 | N: 53° 17' 14,08" E: 15° 54' 10,35" | otoczenie stacji nadawczej - ok. 100 m od obiektu wzdłuż gł. osi promieniowania - GKP | - | - |
| 19 | <0,7* | - | - | - | 1,8 | N: 53° 17' 15,37" E: 15° 54' 11,99" | otoczenie stacji nadawczej - ok. 150 m od obiektu wzdłuż gł. osi promieniowania - GKP | - | - |
| 20 | <0,7* | - | - | - | 1,7 | N: 53° 17' 16,65" E: 15° 54' 13,63" | otoczenie stacji nadawczej - ok. 200 m od obiektu wzdłuż gł. osi promieniowania - GKP | - | - |
| 21 | <0,7* | - | - | - | 1,4 | N: 53° 17' 17,93" E: 15° 54' 15,27" | otoczenie stacji nadawczej - ok. 250 m od obiektu wzdłuż gł. osi promieniowania - GKP | - | - |
| 22 | 0,8 | 2,52 | 0,002 | 0,007 | 1,8 | N: 53° 17' 19,22" E: 15° 54' 16,92" | otoczenie stacji nadawczej - ok. 300 m od obiektu wzdłuż gł. osi promieniowania - GKP | 0,090 | 0,089 |
| 23 | <0,7* | - | - | - | 1,5 | N: 53° 17' 20,5" E: 15° 54' 18,56" | otoczenie stacji nadawczej - ok. 350 m od obiektu wzdłuż gł. osi promieniowania - GKP | - | - |
| 24 | <0,7* | - | - | - | 1,4 | N: 53° 17' 21,78" E: 15° 54' 20,2" | otoczenie stacji nadawczej - ok. 400 m od obiektu wzdłuż gł. osi promieniowania - GKP | - | - |
| 25 | 0,9 | 2,83 | 0,002 | 0,008 | 1,9 | N: 53° 17' 12,14" E: 15° 54' 9,55" | otoczenie stacji nadawczej - ok. 50 m od obiektu wzdłuż gł. osi promieniowania - GKP | 0,101 | 0,100 |
| 26 | <0,7* | - | - | - | 1,6 | N: 53° 17' 12,76" E: 15° 54' 12,05" | otoczenie stacji nadawczej - ok. 100 m od obiektu wzdłuż gł. osi promieniowania - GKP | - | - |
| 27 | <0,7* | - | - | - | 1,3 | N: 53° 17' 13,37" E: 15° 54' 14,54" | otoczenie stacji nadawczej - ok. 150 m od obiektu wzdłuż gł. osi promieniowania - GKP | - | - |
| 28 | <0,7* | - | - | - | 1,5 | N: 53° 17' 13,99" E: 15° 54' 17,03" | otoczenie stacji nadawczej - ok. 200 m od obiektu wzdłuż gł. osi promieniowania - GKP | - | - |
| 29 | <0,7* | - | - | - | 1,4 | N: 53° 17' 14,61" E: 15° 54' 19,52" | otoczenie stacji nadawczej - ok. 250 m od obiektu wzdłuż gł. osi promieniowania - GKP | - | - |
| 30 | <0,7* | - | - | - | 1,9 | N: 53° 17' 15,23" E: 15° 54' 22,01" | otoczenie stacji nadawczej - ok. 300 m od obiektu wzdłuż gł. osi promieniowania - GKP | - | - |
| 31 | <0,7* | - | - | - | 1,5 | N: 53° 17' 15,85" E: 15° 54' 24,51" | otoczenie stacji nadawczej - ok. 350 m od obiektu wzdłuż gł. osi promieniowania - GKP | - | - |
| 32 | <0,7* | - | - | - | 1,4 | N: 53° 17' 16,47" E: 15° 54' 27" | otoczenie stacji nadawczej - ok. 400 m od obiektu wzdłuż gł. osi promieniowania - GKP | - | - |
| 33 | <0,7* | - | - | - | 1,3 | N: 53° 17' 17,09" E: 15° 54' 29,49" | otoczenie stacji nadawczej - ok. 450 m od obiektu wzdłuż gł. osi promieniowania - GKP | - | - |
| 34 | <0,7* | - | - | - | 1,5 | N: 53° 17' 17,7" E: 15° 54' 31,98" | otoczenie stacji nadawczej - ok. 500 m od obiektu wzdłuż gł. osi promieniowania - GKP | - | - |
| 35 | <0,7* | - | - | - | 1,5 | N: 53° 17' 18,32" E: 15° 54' 34,47" | otoczenie stacji nadawczej - ok. 550 m od obiektu wzdłuż gł. osi promieniowania - GKP | - | - |
| 36 | <0,7* | - | - | - | 1,3 | N: 53° 17' 18,94" E: 15° 54' 36,97" | otoczenie stacji nadawczej - ok. 600 m od obiektu wzdłuż gł. osi promieniowania - GKP | - | - |
| 37 | <0,7* | - | - | - | 1,4 | N: 53° 17' 19,56" E: 15° 54' 39,46" | otoczenie stacji nadawczej - ok. 650 m od obiektu wzdłuż gł. osi promieniowania - GKP | - | - |
| 38 | 1,2 | 3,78 | 0,003 | 0,010 | 1,3 | N: 53° 17' 10,9" E: 15° 54' 9,99" | otoczenie stacji nadawczej - ok. 50 m od obiektu wzdłuż gł. osi promieniowania - GKP | 0,135 | 0,133 |
| 39 | 1,1 | 3,46 | 0,003 | 0,009 | 1,9 | N: 53° 17' 10,02" E: 15° 54' 11,85" | otoczenie stacji nadawczej - ok. 100 m od obiektu wzdłuż gł. osi promieniowania - GKP | 0,124 | 0,122 |
| 40 | 1,2 | 3,78 | 0,003 | 0,010 | 1,3 | N: 53° 17' 9,28" E: 15° 54' 14,24" | otoczenie stacji nadawczej - ok. 150 m od obiektu wzdłuż gł. osi promieniowania - GKP | 0,135 | 0,133 |
| 41 | 1,1 | 3,46 | 0,003 | 0,009 | 1,9 | N: 53° 17' 8,53" E: 15° 54' 16,63" | otoczenie stacji nadawczej - ok. 200 m od obiektu wzdłuż gł. osi promieniowania - GKP | 0,124 | 0,122 |
| 42 | <0,7* | - | - | - | 2,0 | N: 53° 17' 7,78" E: 15° 54' 19,02" | otoczenie stacji nadawczej - ok. 250 m od obiektu wzdłuż gł. osi promieniowania - GKP | - | - |

„Bez pisemnej zgody Laboratorium niniejsze sprawozdanie nie może być powielane inaczej, jak tylko w całości. Ponadto wyniki dotyczą tylko badanych obiektów przywołanych w niniejszym sprawozdaniu z badań”

| | | | | | | | | | |
|----|-------|------|-------|-------|-----|--|---|-------|-------|
| 43 | <0,7* | - | - | - | 1,3 | N: 53° 17' 7,03" E: 15° 54' 21,41" | otoczenie stacji nadawczej - ok. 300 m od obiektu wzdłuż gł. osi promieniowania - GKP | - | - |
| 44 | 1,0 | 3,15 | 0,003 | 0,008 | 1,9 | N: 53° 17' 6,29" E: 15° 54' 23,8" | otoczenie stacji nadawczej - ok. 350 m od obiektu wzdłuż gł. osi promieniowania - GKP | 0,112 | 0,111 |
| 45 | 1,2 | 3,78 | 0,003 | 0,010 | 1,7 | N: 53° 17' 5,54" E: 15° 54' 26,2" | otoczenie stacji nadawczej - ok. 400 m od obiektu wzdłuż gł. osi promieniowania - GKP | 0,135 | 0,133 |
| 46 | <0,7* | - | - | - | 1,8 | N: 53° 17' 4,79" E: 15° 54' 28,59" | otoczenie stacji nadawczej - ok. 450 m od obiektu wzdłuż gł. osi promieniowania - GKP | - | - |
| 47 | <0,7* | - | - | - | 1,2 | N: 53° 17' 4,04" E: 15° 54' 30,98" | otoczenie stacji nadawczej - ok. 500 m od obiektu wzdłuż gł. osi promieniowania - GKP | - | - |
| 48 | <0,7* | - | - | - | 1,9 | N: 53° 17' 3,3" E: 15° 54' 33,37" | otoczenie stacji nadawczej - ok. 550 m od obiektu wzdłuż gł. osi promieniowania - GKP | - | - |
| 49 | <0,7* | - | - | - | 1,9 | N: 53° 17' 2,55" E: 15° 54' 35,76" | otoczenie stacji nadawczej - ok. 600 m od obiektu wzdłuż gł. osi promieniowania - GKP | - | - |
| 50 | <0,7* | - | - | - | 1,5 | N: 53° 17' 1,8" E: 15° 54' 38,16" | otoczenie stacji nadawczej - ok. 650 m od obiektu wzdłuż gł. osi promieniowania - GKP | - | - |
| 51 | 1,2 | 3,78 | 0,003 | 0,010 | 1,2 | N: 53° 17' 10,2" E: 15° 54' 8,27" | otoczenie stacji nadawczej - ok. 50 m od obiektu wzdłuż gł. osi promieniowania - GKP | 0,135 | 0,133 |
| 52 | 1,1 | 3,46 | 0,003 | 0,009 | 1,2 | N: 53° 17' 9,43" E: 15° 54' 11,14" | otoczenie stacji nadawczej - ok. 100 m od obiektu wzdłuż gł. osi promieniowania - GKP | 0,124 | 0,122 |
| 53 | 1,2 | 3,78 | 0,003 | 0,010 | 2,0 | N: 53° 17' 8,66" E: 15° 54' 13,71" | otoczenie stacji nadawczej - ok. 150 m od obiektu wzdłuż gł. osi promieniowania - GKP | 0,135 | 0,133 |
| 54 | 1,1 | 3,46 | 0,003 | 0,009 | 1,6 | N: 53° 17' 8,04" E: 15° 54' 16,16" | otoczenie stacji nadawczej - ok. 200 m od obiektu wzdłuż gł. osi promieniowania - GKP | 0,124 | 0,122 |
| 55 | 1,2 | 3,78 | 0,003 | 0,010 | 1,8 | N: 53° 17' 7,17" E: 15° 54' 18,43" | otoczenie stacji nadawczej - ok. 250 m od obiektu wzdłuż gł. osi promieniowania - GKP | 0,135 | 0,133 |
| 56 | <0,7* | - | - | - | 1,3 | N: 53° 17' 6,3" E: 15° 54' 20,71" | otoczenie stacji nadawczej - ok. 300 m od obiektu wzdłuż gł. osi promieniowania - GKP | - | - |
| 57 | <0,7* | - | - | - | 1,3 | N: 53° 17' 5,43" E: 15° 54' 22,98" | otoczenie stacji nadawczej - ok. 350 m od obiektu wzdłuż gł. osi promieniowania - GKP | - | - |
| 58 | <0,7* | - | - | - | 1,3 | N: 53° 17' 4,56" E: 15° 54' 25,25" | otoczenie stacji nadawczej - ok. 400 m od obiektu wzdłuż gł. osi promieniowania - GKP | - | - |
| 59 | <0,7* | - | - | - | 1,2 | N: 53° 17' 3,69" E: 15° 54' 27,53" | otoczenie stacji nadawczej - ok. 450 m od obiektu wzdłuż gł. osi promieniowania - GKP | - | - |
| 60 | 0,9 | 2,83 | 0,002 | 0,008 | 1,9 | N: 53° 17' 2,82" E: 15° 54' 29,8" | otoczenie stacji nadawczej - ok. 500 m od obiektu wzdłuż gł. osi promieniowania - GKP | 0,101 | 0,100 |
| 61 | 0,8 | 2,52 | 0,002 | 0,007 | 1,9 | N: 53° 17' 1,95" E: 15° 54' 32,08" | otoczenie stacji nadawczej - ok. 550 m od obiektu wzdłuż gł. osi promieniowania - GKP | 0,090 | 0,089 |
| 62 | 0,9 | 2,83 | 0,002 | 0,008 | 1,9 | N: 53° 17' 1,08" E: 15° 54' 34,35" | otoczenie stacji nadawczej - ok. 600 m od obiektu wzdłuż gł. osi promieniowania - GKP | 0,101 | 0,100 |
| 63 | 0,8 | 2,52 | 0,002 | 0,007 | 1,6 | N: 53° 17' 0,21" E: 15° 54' 36,62" | otoczenie stacji nadawczej - ok. 650 m od obiektu wzdłuż gł. osi promieniowania - GKP | 0,090 | 0,089 |
| 64 | 1,1 | 3,46 | 0,003 | 0,009 | 2,0 | N: 53° 17' 9,54" E: 15° 54' 7,98" | otoczenie stacji nadawczej - ok. 50 m od obiektu wzdłuż gł. osi promieniowania - GKP | 0,124 | 0,122 |
| 65 | 1,2 | 3,78 | 0,003 | 0,010 | 1,7 | N: 53° 17' 8,92" E: 15° 54' 10,36" | otoczenie stacji nadawczej - ok. 100 m od obiektu wzdłuż gł. osi promieniowania - GKP | 0,135 | 0,133 |
| 66 | 1,1 | 3,46 | 0,003 | 0,009 | 1,7 | N: 53° 17' 7,94" E: 15° 54' 12,53" | otoczenie stacji nadawczej - ok. 150 m od obiektu wzdłuż gł. osi promieniowania - GKP | 0,124 | 0,122 |
| 67 | 1,2 | 3,78 | 0,003 | 0,010 | 1,6 | N: 53° 17' 6,75" E: 15° 54' 14,35" | otoczenie stacji nadawczej - ok. 200 m od obiektu wzdłuż gł. osi promieniowania - GKP | 0,135 | 0,133 |
| 68 | 1,0 | 3,15 | 0,003 | 0,008 | 1,3 | N: 53° 17' 5,55" E: 15° 54' 16,17" | otoczenie stacji nadawczej - ok. 250 m od obiektu wzdłuż gł. osi promieniowania - GKP | 0,112 | 0,111 |
| 69 | <0,7* | - | - | - | 1,6 | N: 53° 17' 4,36" E: 15° 54' 17,99" | otoczenie stacji nadawczej - ok. 300 m od obiektu wzdłuż gł. osi promieniowania - GKP | - | - |
| 70 | <0,7* | - | - | - | 1,8 | N: 53° 17' 3,17" E: 15° 54' 19,81" | otoczenie stacji nadawczej - ok. 350 m od obiektu wzdłuż gł. osi promieniowania - GKP | - | - |
| 71 | <0,7* | - | - | - | 1,6 | N: 53° 17' 1,98" E: 15° 54' 21,63" | otoczenie stacji nadawczej - ok. 400 m od obiektu wzdłuż gł. osi promieniowania - GKP | - | - |
| 72 | <0,7* | - | - | - | 1,7 | N: 53° 17' 0,78" E: 15° 54' 23,45" | otoczenie stacji nadawczej - ok. 450 m od obiektu wzdłuż gł. osi promieniowania - GKP | - | - |
| 73 | <0,7* | - | - | - | 1,8 | N: 53° 16' 59,59" E: 15° 54' 25,28" | otoczenie stacji nadawczej - ok. 500 m od obiektu wzdłuż gł. osi promieniowania - GKP | - | - |
| 74 | <0,7* | - | - | - | 2,0 | N: 53° 16' 58,4" E: 15° 54' 27,1" | otoczenie stacji nadawczej - ok. 550 m od obiektu wzdłuż gł. osi promieniowania - GKP | - | - |
| 75 | 0,9 | 2,83 | 0,002 | 0,008 | 1,3 | N: 53° 16' 57,2" E: 15° 54' 28,92" | otoczenie stacji nadawczej - ok. 600 m od obiektu wzdłuż gł. osi promieniowania - GKP | 0,101 | 0,100 |

„Bez pisemnej zgody Laboratorium niniejsze sprawozdanie nie może być powielane inaczej, jak tylko w całości. Ponadto wyniki dotyczą tylko badanych obiektów przywołanych w niniejszym sprawozdaniu z badań”
11/08/OŚ/2020 - ELT

| | | | | | | | | | |
|-----|-------|------|-------|-------|-----|--|---|-------|-------|
| 76 | <0,7* | - | - | - | 1,7 | N: 53° 16' 56,01" E: 15° 54' 30,74" | otoczenie stacji nadawczej - ok. 650 m od obiektu wzdłuż gł. osi promieniowania - GKP | - | - |
| 77 | <0,7* | - | - | - | 1,4 | N: 53° 17' 10,17" E: 15° 54' 5,77" | otoczenie stacji nadawczej - ok. 50 m od obiektu wzdłuż gł. osi promieniowania - GKP | - | - |
| 78 | <0,7* | - | - | - | 1,5 | N: 53° 17' 8,95" E: 15° 54' 3,78" | otoczenie stacji nadawczej - ok. 100 m od obiektu wzdłuż gł. osi promieniowania - GKP | - | - |
| 79 | <0,7* | - | - | - | 1,5 | N: 53° 17' 7,67" E: 15° 54' 2,13" | otoczenie stacji nadawczej - ok. 150 m od obiektu wzdłuż gł. osi promieniowania - GKP | - | - |
| 80 | <0,7* | - | - | - | 1,3 | N: 53° 17' 6,39" E: 15° 54' 0,49" | otoczenie stacji nadawczej - ok. 200 m od obiektu wzdłuż gł. osi promieniowania - GKP | - | - |
| 81 | <0,7* | - | - | - | 1,4 | N: 53° 17' 5,11" E: 15° 53' 58,85" | otoczenie stacji nadawczej - ok. 250 m od obiektu wzdłuż gł. osi promieniowania - GKP | - | - |
| 82 | <0,7* | - | - | - | 1,9 | N: 53° 17' 3,82" E: 15° 53' 57,21" | otoczenie stacji nadawczej - ok. 300 m od obiektu wzdłuż gł. osi promieniowania - GKP | - | - |
| 83 | 1,0 | 3,15 | 0,003 | 0,008 | 1,7 | N: 53° 17' 2,54" E: 15° 53' 55,57" | otoczenie stacji nadawczej - ok. 350 m od obiektu wzdłuż gł. osi promieniowania - GKP | 0,112 | 0,111 |
| 84 | <0,7* | - | - | - | 1,9 | N: 53° 17' 1,25" E: 15° 53' 53,92" | otoczenie stacji nadawczej - ok. 400 m od obiektu wzdłuż gł. osi promieniowania - GKP | - | - |
| 85 | <0,7* | - | - | - | 1,7 | N: 53° 16' 59,97" E: 15° 53' 52,28" | otoczenie stacji nadawczej - ok. 450 m od obiektu wzdłuż gł. osi promieniowania - GKP | - | - |
| 86 | <0,7* | - | - | - | 1,5 | N: 53° 16' 58,69" E: 15° 53' 50,64" | otoczenie stacji nadawczej - ok. 500 m od obiektu wzdłuż gł. osi promieniowania - GKP | - | - |
| 87 | <0,7* | - | - | - | 1,4 | N: 53° 16' 57,41" E: 15° 53' 49" | otoczenie stacji nadawczej - ok. 550 m od obiektu wzdłuż gł. osi promieniowania - GKP | - | - |
| 88 | <0,7* | - | - | - | 1,3 | N: 53° 16' 56,12" E: 15° 53' 47,36" | otoczenie stacji nadawczej - ok. 600 m od obiektu wzdłuż gł. osi promieniowania - GKP | - | - |
| 89 | 1,0 | 3,15 | 0,003 | 0,008 | 1,5 | N: 53° 16' 54,84" E: 15° 53' 45,71" | otoczenie stacji nadawczej - ok. 650 m od obiektu wzdłuż gł. osi promieniowania - GKP | 0,112 | 0,111 |
| 90 | <0,7* | - | - | - | 1,4 | N: 53° 17' 10,21" E: 15° 54' 4,5" | otoczenie stacji nadawczej - ok. 50 m od obiektu wzdłuż gł. osi promieniowania - GKP | - | - |
| 91 | <0,7* | - | - | - | 1,5 | N: 53° 17' 9,33" E: 15° 54' 3,08" | otoczenie stacji nadawczej - ok. 100 m od obiektu wzdłuż gł. osi promieniowania - GKP | - | - |
| 92 | <0,7* | - | - | - | 1,8 | N: 53° 17' 8,24" E: 15° 54' 1,09" | otoczenie stacji nadawczej - ok. 150 m od obiektu wzdłuż gł. osi promieniowania - GKP | - | - |
| 93 | <0,7* | - | - | - | 1,3 | N: 53° 17' 7,15" E: 15° 53' 59,11" | otoczenie stacji nadawczej - ok. 200 m od obiektu wzdłuż gł. osi promieniowania - GKP | - | - |
| 94 | <0,7* | - | - | - | 1,7 | N: 53° 17' 6,06" E: 15° 53' 57,12" | otoczenie stacji nadawczej - ok. 250 m od obiektu wzdłuż gł. osi promieniowania - GKP | - | - |
| 95 | <0,7* | - | - | - | 1,8 | N: 53° 17' 4,96" E: 15° 53' 55,13" | otoczenie stacji nadawczej - ok. 300 m od obiektu wzdłuż gł. osi promieniowania - GKP | - | - |
| 96 | <0,7* | - | - | - | 1,7 | N: 53° 17' 3,87" E: 15° 53' 53,14" | otoczenie stacji nadawczej - ok. 350 m od obiektu wzdłuż gł. osi promieniowania - GKP | - | - |
| 97 | <0,7* | - | - | - | 1,9 | N: 53° 17' 2,78" E: 15° 53' 51,15" | otoczenie stacji nadawczej - ok. 400 m od obiektu wzdłuż gł. osi promieniowania - GKP | - | - |
| 98 | <0,7* | - | - | - | 1,8 | N: 53° 17' 1,69" E: 15° 53' 49,16" | otoczenie stacji nadawczej - ok. 450 m od obiektu wzdłuż gł. osi promieniowania - GKP | - | - |
| 99 | <0,7* | - | - | - | 1,4 | N: 53° 17' 0,59" E: 15° 53' 47,17" | otoczenie stacji nadawczej - ok. 500 m od obiektu wzdłuż gł. osi promieniowania - GKP | - | - |
| 100 | <0,7* | - | - | - | 1,3 | N: 53° 16' 59,5" E: 15° 53' 45,19" | otoczenie stacji nadawczej - ok. 550 m od obiektu wzdłuż gł. osi promieniowania - GKP | - | - |
| 101 | 1,0 | 3,15 | 0,003 | 0,008 | 1,9 | N: 53° 16' 58,41" E: 15° 53' 43,2" | otoczenie stacji nadawczej - ok. 600 m od obiektu wzdłuż gł. osi promieniowania - GKP | 0,112 | 0,111 |
| 102 | <0,7* | - | - | - | 1,9 | N: 53° 16' 57,32" E: 15° 53' 41,21" | otoczenie stacji nadawczej - ok. 650 m od obiektu wzdłuż gł. osi promieniowania - GKP | - | - |
| 103 | <0,7* | - | - | - | 1,7 | N: 53° 17' 10,8" E: 15° 54' 4,06" | otoczenie stacji nadawczej - ok. 50 m od obiektu wzdłuż gł. osi promieniowania - GKP | - | - |
| 104 | <0,7* | - | - | - | 2,0 | N: 53° 17' 10,28" E: 15° 54' 2,08" | otoczenie stacji nadawczej - ok. 100 m od obiektu wzdłuż gł. osi promieniowania - GKP | - | - |
| 105 | <0,7* | - | - | - | 1,3 | N: 53° 17' 9,66" E: 15° 53' 59,59" | otoczenie stacji nadawczej - ok. 150 m od obiektu wzdłuż gł. osi promieniowania - GKP | - | - |
| 106 | <0,7* | - | - | - | 1,3 | N: 53° 17' 9,04" E: 15° 53' 57,09" | otoczenie stacji nadawczej - ok. 200 m od obiektu wzdłuż gł. osi promieniowania - GKP | - | - |
| 107 | <0,7* | - | - | - | 1,8 | N: 53° 17' 8,43" E: 15° 53' 54,6" | otoczenie stacji nadawczej - ok. 250 m od obiektu wzdłuż gł. osi promieniowania - GKP | - | - |
| 108 | 1,1 | 3,46 | 0,003 | 0,009 | 1,6 | N: 53° 17' 7,81" E: 15° 53' 52,11" | otoczenie stacji nadawczej - ok. 300 m od obiektu wzdłuż gł. osi promieniowania - GKP | 0,124 | 0,122 |

„Bez pisemnej zgody Laboratorium niniejsze sprawozdanie nie może być powielane inaczej, jak tylko w całości. Ponadto wyniki dotyczą tylko badanych obiektów przywołanych w niniejszym sprawozdaniu z badań”
11/08/OŚ/2020 - ELT

| | | | | | | | | | |
|-----|-------|------|-------|-------|-----|--|---|-------|-------|
| 109 | <0,7* | - | - | - | 1,8 | N: 53° 17' 7,19" E: 15° 53' 49,62" | otoczenie stacji nadawczej - ok. 350 m od obiektu wzdłuż gł. osi promieniowania - GKP | - | - |
| 110 | <0,7* | - | - | - | 1,9 | N: 53° 17' 6,57" E: 15° 53' 47,13" | otoczenie stacji nadawczej - ok. 400 m od obiektu wzdłuż gł. osi promieniowania - GKP | - | - |
| 111 | <0,7* | - | - | - | 1,8 | N: 53° 17' 5,95" E: 15° 53' 44,63" | otoczenie stacji nadawczej - ok. 450 m od obiektu wzdłuż gł. osi promieniowania - GKP | - | - |
| 112 | <0,7* | - | - | - | 1,8 | N: 53° 17' 5,33" E: 15° 53' 42,14" | otoczenie stacji nadawczej - ok. 500 m od obiektu wzdłuż gł. osi promieniowania - GKP | - | - |
| 113 | <0,7* | - | - | - | 1,7 | N: 53° 17' 4,71" E: 15° 53' 39,65" | otoczenie stacji nadawczej - ok. 550 m od obiektu wzdłuż gł. osi promieniowania - GKP | - | - |
| 114 | <0,7* | - | - | - | 1,8 | N: 53° 17' 4,1" E: 15° 53' 37,16" | otoczenie stacji nadawczej - ok. 600 m od obiektu wzdłuż gł. osi promieniowania - GKP | - | - |
| 115 | <0,7* | - | - | - | 1,7 | N: 53° 17' 3,48" E: 15° 53' 34,67" | otoczenie stacji nadawczej - ok. 650 m od obiektu wzdłuż gł. osi promieniowania - GKP | - | - |
| 116 | 1,0 | 3,15 | 0,003 | 0,008 | 1,2 | N: 53° 17' 11,38" E: 15° 54' 4,76" | otoczenie stacji nadawczej - ok. 50 m od obiektu wzdłuż gł. osi promieniowania - GKP | 0,112 | 0,111 |
| 117 | <0,7* | - | - | - | 1,9 | N: 53° 17' 11,02" E: 15° 54' 1,78" | otoczenie stacji nadawczej - ok. 100 m od obiektu wzdłuż gł. osi promieniowania - GKP | - | - |
| 118 | <0,7* | - | - | - | 1,8 | N: 53° 17' 10,47" E: 15° 53' 59,16" | otoczenie stacji nadawczej - ok. 150 m od obiektu wzdłuż gł. osi promieniowania - GKP | - | - |
| 119 | <0,7* | - | - | - | 2,0 | N: 53° 17' 10,12" E: 15° 53' 56,53" | otoczenie stacji nadawczej - ok. 200 m od obiektu wzdłuż gł. osi promieniowania - GKP | - | - |
| 120 | <0,7* | - | - | - | 1,5 | N: 53° 17' 9,77" E: 15° 53' 53,9" | otoczenie stacji nadawczej - ok. 250 m od obiektu wzdłuż gł. osi promieniowania - GKP | - | - |
| 121 | <0,7* | - | - | - | 1,9 | N: 53° 17' 9,42" E: 15° 53' 51,26" | otoczenie stacji nadawczej - ok. 300 m od obiektu wzdłuż gł. osi promieniowania - GKP | - | - |
| 122 | <0,7* | - | - | - | 1,5 | N: 53° 17' 9,07" E: 15° 53' 48,63" | otoczenie stacji nadawczej - ok. 350 m od obiektu wzdłuż gł. osi promieniowania - GKP | - | - |
| 123 | <0,7* | - | - | - | 1,8 | N: 53° 17' 8,72" E: 15° 53' 46" | otoczenie stacji nadawczej - ok. 400 m od obiektu wzdłuż gł. osi promieniowania - GKP | - | - |
| 124 | <0,7* | - | - | - | 1,3 | N: 53° 17' 8,37" E: 15° 53' 43,36" | otoczenie stacji nadawczej - ok. 450 m od obiektu wzdłuż gł. osi promieniowania - GKP | - | - |
| 125 | <0,7* | - | - | - | 1,5 | N: 53° 17' 8,02" E: 15° 53' 40,73" | otoczenie stacji nadawczej - ok. 500 m od obiektu wzdłuż gł. osi promieniowania - GKP | - | - |
| 126 | <0,7* | - | - | - | 1,2 | N: 53° 17' 7,67" E: 15° 53' 38,1" | otoczenie stacji nadawczej - ok. 550 m od obiektu wzdłuż gł. osi promieniowania - GKP | - | - |
| 127 | 1,2 | 3,78 | 0,003 | 0,010 | 1,7 | N: 53° 17' 7,32" E: 15° 53' 35,46" | otoczenie stacji nadawczej - ok. 600 m od obiektu wzdłuż gł. osi promieniowania - GKP | 0,135 | 0,133 |
| 128 | <0,7* | - | - | - | 1,5 | N: 53° 17' 6,97" E: 15° 53' 32,83" | otoczenie stacji nadawczej - ok. 650 m od obiektu wzdłuż gł. osi promieniowania - GKP | - | - |
| 129 | 1,2 | 3,78 | 0,003 | 0,010 | 1,2 | N: 53° 17' 12,01" E: 15° 54' 4,37" | otoczenie stacji nadawczej - ok. 50 m od obiektu wzdłuż gł. osi promieniowania - GKP | 0,135 | 0,133 |
| 130 | 1,2 | 3,78 | 0,003 | 0,010 | 1,3 | N: 53° 17' 11,94" E: 15° 54' 1,71" | otoczenie stacji nadawczej - ok. 100 m od obiektu wzdłuż gł. osi promieniowania - GKP | 0,135 | 0,133 |
| 131 | <0,7* | - | - | - | 1,9 | N: 53° 17' 12,15" E: 15° 53' 59,04" | otoczenie stacji nadawczej - ok. 150 m od obiektu wzdłuż gł. osi promieniowania - GKP | - | - |
| 132 | <0,7* | - | - | - | 1,4 | N: 53° 17' 12,37" E: 15° 53' 56,37" | otoczenie stacji nadawczej - ok. 200 m od obiektu wzdłuż gł. osi promieniowania - GKP | - | - |
| 133 | <0,7* | - | - | - | 1,4 | N: 53° 17' 12,58" E: 15° 53' 53,69" | otoczenie stacji nadawczej - ok. 250 m od obiektu wzdłuż gł. osi promieniowania - GKP | - | - |
| 134 | <0,7* | - | - | - | 1,6 | N: 53° 17' 12,79" E: 15° 53' 51,02" | otoczenie stacji nadawczej - ok. 300 m od obiektu wzdłuż gł. osi promieniowania - GKP | - | - |
| 135 | <0,7* | - | - | - | 1,3 | N: 53° 17' 12,35" E: 15° 53' 48,39" | otoczenie stacji nadawczej - ok. 350 m od obiektu wzdłuż gł. osi promieniowania - GKP | - | - |
| 136 | <0,7* | - | - | - | 1,3 | N: 53° 17' 11,72" E: 15° 53' 45,26" | otoczenie stacji nadawczej - ok. 400 m od obiektu wzdłuż gł. osi promieniowania - GKP | - | - |
| 137 | <0,7* | - | - | - | 1,6 | N: 53° 17' 13,42" E: 15° 53' 43" | otoczenie stacji nadawczej - ok. 450 m od obiektu wzdłuż gł. osi promieniowania - GKP | - | - |
| 138 | <0,7* | - | - | - | 1,4 | N: 53° 17' 13,63" E: 15° 53' 40,32" | otoczenie stacji nadawczej - ok. 500 m od obiektu wzdłuż gł. osi promieniowania - GKP | - | - |
| 139 | <0,7* | - | - | - | 1,5 | N: 53° 17' 14,47" E: 15° 53' 37,83" | otoczenie stacji nadawczej - ok. 550 m od obiektu wzdłuż gł. osi promieniowania - GKP | - | - |
| 140 | <0,7* | - | - | - | 1,3 | N: 53° 17' 14,06" E: 15° 53' 34,97" | otoczenie stacji nadawczej - ok. 600 m od obiektu wzdłuż gł. osi promieniowania - GKP | - | - |
| 141 | <0,7* | - | - | - | 1,9 | N: 53° 17' 14,27" E: 15° 53' 32,3" | otoczenie stacji nadawczej - ok. 650 m od obiektu wzdłuż gł. osi promieniowania - GKP | - | - |

„Bez pisemnej zgody Laboratorium niniejsze sprawozdanie nie może być powielane inaczej, jak tylko w całości. Ponadto wyniki dotyczą tylko badanych obiektów przywołanych w niniejszym sprawozdaniu z badań”

| | | | | | | | | | |
|-----|-------|------|-------|-------|-----|--|---|-------|-------|
| 142 | <0,7* | - | - | - | 1,8 | N: 53° 17' 12,56" E: 15° 54' 4,85" | otoczenie stacji nadawczej - ok. 50 m od obiektu wzdłuż gł. osi promieniowania - GKP | - | - |
| 143 | <0,7* | - | - | - | 1,5 | N: 53° 17' 13,01" E: 15° 54' 2,28" | otoczenie stacji nadawczej - ok. 100 m od obiektu wzdłuż gł. osi promieniowania - GKP | - | - |
| 144 | <0,7* | - | - | - | 1,5 | N: 53° 17' 13,76" E: 15° 53' 59,89" | otoczenie stacji nadawczej - ok. 150 m od obiektu wzdłuż gł. osi promieniowania - GKP | - | - |
| 145 | <0,7* | - | - | - | 1,8 | N: 53° 17' 14,51" E: 15° 53' 57,49" | otoczenie stacji nadawczej - ok. 200 m od obiektu wzdłuż gł. osi promieniowania - GKP | - | - |
| 146 | <0,7* | - | - | - | 1,6 | N: 53° 17' 14,33" E: 15° 53' 55,06" | otoczenie stacji nadawczej - ok. 250 m od obiektu wzdłuż gł. osi promieniowania - GKP | - | - |
| 147 | <0,7* | - | - | - | 1,9 | N: 53° 17' 17,31" E: 15° 53' 52,17" | otoczenie stacji nadawczej - ok. 350 m od obiektu wzdłuż gł. osi promieniowania - GKP | - | - |
| 148 | <0,7* | - | - | - | 1,6 | N: 53° 17' 16,75" E: 15° 53' 50,32" | otoczenie stacji nadawczej - ok. 350 m od obiektu wzdłuż gł. osi promieniowania - GKP | - | - |
| 149 | <0,7* | - | - | - | 1,3 | N: 53° 17' 17,5" E: 15° 53' 47,92" | otoczenie stacji nadawczej - ok. 400 m od obiektu wzdłuż gł. osi promieniowania - GKP | - | - |
| 150 | <0,7* | - | - | - | 1,4 | N: 53° 17' 18,24" E: 15° 53' 45,53" | otoczenie stacji nadawczej - ok. 450 m od obiektu wzdłuż gł. osi promieniowania - GKP | - | - |
| 151 | 1,0 | 3,15 | 0,003 | 0,008 | 1,7 | N: 53° 17' 18,99" E: 15° 53' 43,14" | otoczenie stacji nadawczej - ok. 500 m od obiektu wzdłuż gł. osi promieniowania - GKP | 0,112 | 0,111 |
| 152 | 0,8 | 2,52 | 0,002 | 0,007 | 1,5 | N: 53° 17' 19,74" E: 15° 53' 40,75" | otoczenie stacji nadawczej - ok. 550 m od obiektu wzdłuż gł. osi promieniowania - GKP | 0,090 | 0,089 |
| 153 | 0,8 | 2,52 | 0,002 | 0,007 | 1,4 | N: 53° 17' 20,93" E: 15° 53' 38,57" | otoczenie stacji nadawczej - ok. 600 m od obiektu wzdłuż gł. osi promieniowania - GKP | 0,090 | 0,089 |
| 154 | <0,7* | - | - | - | 1,7 | N: 53° 17' 21,23" E: 15° 53' 35,96" | otoczenie stacji nadawczej - ok. 650 m od obiektu wzdłuż gł. osi promieniowania - GKP | - | - |
| 155 | <0,7* | - | - | - | 1,4 | N: 53° 17' 13,07" E: 15° 54' 5,39" | otoczenie stacji nadawczej - ok. 50 m od obiektu wzdłuż gł. osi promieniowania - GKP | - | - |
| 156 | <0,7* | - | - | - | 1,9 | N: 53° 17' 13,72" E: 15° 54' 2,97" | otoczenie stacji nadawczej - ok. 100 m od obiektu wzdłuż gł. osi promieniowania - GKP | - | - |
| 157 | <0,7* | - | - | - | 1,7 | N: 53° 17' 14,47" E: 15° 54' 0,64" | otoczenie stacji nadawczej - ok. 150 m od obiektu wzdłuż gł. osi promieniowania - GKP | - | - |
| 158 | <0,7* | - | - | - | 2,0 | N: 53° 17' 15,46" E: 15° 53' 58,5" | otoczenie stacji nadawczej - ok. 200 m od obiektu wzdłuż gł. osi promieniowania - GKP | - | - |
| 159 | 1,0 | 3,15 | 0,003 | 0,008 | 1,7 | N: 53° 17' 16,44" E: 15° 53' 56,36" | otoczenie stacji nadawczej - ok. 250 m od obiektu wzdłuż gł. osi promieniowania - GKP | 0,112 | 0,111 |
| 160 | <0,7* | - | - | - | 1,4 | N: 53° 17' 18,14" E: 15° 53' 54,52" | otoczenie stacji nadawczej - ok. 300 m od obiektu wzdłuż gł. osi promieniowania - GKP | - | - |
| 161 | <0,7* | - | - | - | 1,3 | N: 53° 17' 18,41" E: 15° 53' 52,09" | otoczenie stacji nadawczej - ok. 350 m od obiektu wzdłuż gł. osi promieniowania - GKP | - | - |
| 162 | <0,7* | - | - | - | 2,0 | N: 53° 17' 19,4" E: 15° 53' 49,95" | otoczenie stacji nadawczej - ok. 400 m od obiektu wzdłuż gł. osi promieniowania - GKP | - | - |
| 163 | <0,7* | - | - | - | 1,8 | N: 53° 17' 20,38" E: 15° 53' 47,81" | otoczenie stacji nadawczej - ok. 450 m od obiektu wzdłuż gł. osi promieniowania - GKP | - | - |
| 164 | <0,7* | - | - | - | 1,5 | N: 53° 17' 21,37" E: 15° 53' 45,67" | otoczenie stacji nadawczej - ok. 500 m od obiektu wzdłuż gł. osi promieniowania - GKP | - | - |
| 165 | <0,7* | - | - | - | 1,3 | N: 53° 17' 22,76" E: 15° 53' 43,73" | otoczenie stacji nadawczej - ok. 550 m od obiektu wzdłuż gł. osi promieniowania - GKP | - | - |
| 166 | <0,7* | - | - | - | 1,3 | N: 53° 17' 23,34" E: 15° 53' 41,39" | otoczenie stacji nadawczej - ok. 600 m od obiektu wzdłuż gł. osi promieniowania - GKP | - | - |
| 167 | 1,0 | 3,15 | 0,003 | 0,008 | 1,2 | N: 53° 17' 24,32" E: 15° 53' 39,25" | otoczenie stacji nadawczej - ok. 650 m od obiektu wzdłuż gł. osi promieniowania - GKP | 0,112 | 0,111 |
| 168 | <0,7* | - | - | - | 1,9 | N: 53° 17' 13,12" E: 15° 54' 6,71" | otoczenie stacji nadawczej - ok. 50 m od obiektu wzdłuż gł. osi promieniowania - GKP | - | - |
| 169 | 1,1 | 3,46 | 0,003 | 0,009 | 1,6 | N: 53° 17' 14,73" E: 15° 54' 6,36" | otoczenie stacji nadawczej - ok. 100 m od obiektu wzdłuż gł. osi promieniowania - GKP | 0,124 | 0,122 |
| 170 | <0,7* | - | - | - | 1,4 | N: 53° 17' 16,33" E: 15° 54' 6,01" | otoczenie stacji nadawczej - ok. 150 m od obiektu wzdłuż gł. osi promieniowania - GKP | - | - |
| 171 | 0,8 | 2,52 | 0,002 | 0,007 | 1,6 | N: 53° 17' 17,93" E: 15° 54' 5,66" | otoczenie stacji nadawczej - ok. 200 m od obiektu wzdłuż gł. osi promieniowania - GKP | 0,090 | 0,089 |
| 172 | <0,7* | - | - | - | 1,8 | N: 53° 17' 19,54" E: 15° 54' 5,3" | otoczenie stacji nadawczej - ok. 250 m od obiektu wzdłuż gł. osi promieniowania - GKP | - | - |
| 173 | <0,7* | - | - | - | 1,6 | N: 53° 17' 21,14" E: 15° 54' 4,95" | otoczenie stacji nadawczej - ok. 300 m od obiektu wzdłuż gł. osi promieniowania - GKP | - | - |
| 174 | <0,7* | - | - | - | 1,3 | N: 53° 17' 22,75" E: 15° 54' 4,6" | otoczenie stacji nadawczej - ok. 350 m od obiektu wzdłuż gł. osi promieniowania - GKP | - | - |

„Bez pisemnej zgody Laboratorium niniejsze sprawozdanie nie może być powielane inaczej, jak tylko w całości. Ponadto wyniki dotyczą tylko badanych obiektów przywołanych w niniejszym sprawozdaniu z badań”
11/08/OŚ/2020 - ELT

| | | | | | | | | | |
|-----|-------|------|-------|-------|-----|--|---|-------|-------|
| 175 | <0,7* | - | - | - | 1,3 | N: 53° 17' 24,35" E: 15° 54' 4,25" | otoczenie stacji nadawczej - ok. 400 m od obiektu wzdłuż gł. osi promieniowania - GKP | - | - |
| 176 | <0,7* | - | - | - | 1,3 | N: 53° 17' 25,95" E: 15° 54' 3,9" | otoczenie stacji nadawczej - ok. 450 m od obiektu wzdłuż gł. osi promieniowania - GKP | - | - |
| 177 | <0,7* | - | - | - | 1,7 | N: 53° 17' 27,56" E: 15° 54' 3,55" | otoczenie stacji nadawczej - ok. 500 m od obiektu wzdłuż gł. osi promieniowania - GKP | - | - |
| 178 | 0,8 | 2,52 | 0,002 | 0,007 | 1,9 | N: 53° 17' 29,16" E: 15° 54' 3,2" | otoczenie stacji nadawczej - ok. 550 m od obiektu wzdłuż gł. osi promieniowania - GKP | 0,090 | 0,089 |
| 179 | <0,7* | - | - | - | 1,6 | N: 53° 17' 30,59" E: 15° 54' 2,05" | otoczenie stacji nadawczej - ok. 600 m od obiektu wzdłuż gł. osi promieniowania - GKP | - | - |
| 180 | 1,0 | 3,15 | 0,003 | 0,008 | 2,0 | N: 53° 17' 32,37" E: 15° 54' 2,49" | otoczenie stacji nadawczej - ok. 650 m od obiektu wzdłuż gł. osi promieniowania - GKP | 0,112 | 0,111 |
| 181 | 0,8 | 2,52 | 0,002 | 0,007 | 1,6 | N: 53° 17' 16,43" E: 15° 54' 7,43" | otoczenie stacji nadawczej - ok. 150 m od obiektu wzdłuż gł. osi promieniowania - GKP | 0,090 | 0,089 |
| 182 | 0,9 | 2,83 | 0,002 | 0,008 | 1,6 | N: 53° 17' 15,77" E: 15° 54' 10,91" | otoczenie stacji nadawczej - PKP | 0,101 | 0,100 |
| 183 | 0,8 | 2,52 | 0,002 | 0,007 | 1,7 | N: 53° 17' 14,85" E: 15° 54' 13,03" | otoczenie stacji nadawczej - PKP | 0,090 | 0,089 |
| 184 | 0,9 | 2,83 | 0,002 | 0,008 | 1,7 | N: 53° 17' 13,67" E: 15° 54' 11,14" | otoczenie stacji nadawczej - PKP | 0,101 | 0,100 |
| 185 | 0,8 | 2,52 | 0,002 | 0,007 | 1,3 | N: 53° 17' 14,09" E: 15° 54' 13,88" | otoczenie stacji nadawczej - PKP | 0,090 | 0,089 |
| 186 | 0,9 | 2,83 | 0,002 | 0,008 | 1,6 | N: 53° 17' 12,64" E: 15° 54' 15,07" | otoczenie stacji nadawczej - PKP | 0,101 | 0,100 |
| 187 | 0,8 | 2,52 | 0,002 | 0,007 | 1,8 | N: 53° 17' 11,94" E: 15° 54' 12,48" | otoczenie stacji nadawczej - PKP | 0,090 | 0,089 |
| 188 | 0,9 | 2,83 | 0,002 | 0,008 | 1,3 | N: 53° 17' 11,5" E: 15° 54' 9,79" | otoczenie stacji nadawczej - PKP | 0,101 | 0,100 |
| 189 | 0,8 | 2,52 | 0,002 | 0,007 | 1,6 | N: 53° 17' 11,06" E: 15° 54' 12,42" | otoczenie stacji nadawczej - PKP | 0,090 | 0,089 |
| 190 | 0,9 | 2,83 | 0,002 | 0,008 | 1,4 | N: 53° 17' 10,37" E: 15° 54' 14,82" | otoczenie stacji nadawczej - PKP | 0,101 | 0,100 |
| 191 | 0,8 | 2,52 | 0,002 | 0,007 | 2,0 | N: 53° 17' 7,34" E: 15° 54' 11,1" | otoczenie stacji nadawczej - ok. 150 m od obiektu wzdłuż gł. osi promieniowania - GKP | 0,090 | 0,089 |
| 192 | 0,9 | 2,83 | 0,002 | 0,008 | 1,6 | N: 53° 17' 8,59" E: 15° 54' 8,96" | otoczenie stacji nadawczej - ok. 100 m od obiektu wzdłuż gł. osi promieniowania - GKP | 0,101 | 0,100 |
| 193 | 0,8 | 2,52 | 0,002 | 0,007 | 1,6 | N: 53° 17' 9,72" E: 15° 54' 6,96" | otoczenie stacji nadawczej - PKP | 0,090 | 0,089 |
| 194 | 0,9 | 2,83 | 0,002 | 0,008 | 2,0 | N: 53° 17' 8,44" E: 15° 54' 5,11" | otoczenie stacji nadawczej - PKP | 0,101 | 0,100 |
| 195 | 0,8 | 2,52 | 0,002 | 0,007 | 1,4 | N: 53° 17' 7,07" E: 15° 54' 3,87" | otoczenie stacji nadawczej - PKP | 0,090 | 0,089 |
| 196 | 0,9 | 2,83 | 0,002 | 0,008 | 1,9 | N: 53° 17' 9" E: 15° 54' 0,3" | otoczenie stacji nadawczej - ok. 150 m od obiektu wzdłuż gł. osi promieniowania - GKP | 0,101 | 0,100 |
| 197 | 0,8 | 2,52 | 0,002 | 0,007 | 1,7 | N: 53° 17' 11,47" E: 15° 53' 59,09" | otoczenie stacji nadawczej - ok. 150 m od obiektu wzdłuż gł. osi promieniowania - GKP | 0,090 | 0,089 |
| 198 | 0,9 | 2,83 | 0,002 | 0,008 | 1,7 | N: 53° 17' 12,96" E: 15° 53' 59,44" | otoczenie stacji nadawczej - PKP | 0,101 | 0,100 |
| 199 | 0,9 | 2,83 | 0,002 | 0,008 | 2,0 | N: 53° 17' 15,11" E: 15° 54' 1,74" | otoczenie stacji nadawczej - PKP | 0,101 | 0,100 |
| 200 | 0,8 | 2,52 | 0,002 | 0,007 | 1,9 | N: 53° 17' 14,29" E: 15° 54' 4,69" | otoczenie stacji nadawczej - PKP | 0,090 | 0,089 |
| 201 | 0,9 | 2,83 | 0,002 | 0,008 | 1,9 | N: 53° 17' 16,13" E: 15° 54' 4,35" | otoczenie stacji nadawczej - PKP | 0,101 | 0,100 |
| A | <0,7* | - | - | - | 1,8 | - | ul. Lipinki 4, pomiar przed wejściem - DPP | - | - |
| B | <0,7* | - | - | - | 1,9 | - | ul. Dworcowa 9A, pomiar przed wejściem - DPP | - | - |
| C | 1,2 | 3,78 | 0,003 | 0,010 | 1,6 | - | ul. Dworcowa 11, pomiar przed wejściem - DPP | 0,135 | 0,133 |
| D | 1,0 | 3,15 | 0,003 | 0,008 | 2,0 | - | ul. Dworcowa 22A, pomiar przed wejściem - DPP | 0,112 | 0,111 |
| E | 0,8 | 2,52 | 0,002 | 0,007 | 1,3 | - | ul. Dworcowa 22B, pomiar przed wejściem - DPP | 0,090 | 0,089 |
| F | 1,1 | 3,46 | 0,003 | 0,009 | 1,5 | - | ul. Kwiatowa 21, pomiar przed wejściem - DPP | 0,124 | 0,122 |
| G | 1,2 | 3,78 | 0,003 | 0,010 | 2,0 | - | ul. Kwiatowa 17, pomiar przed wejściem - DPP | 0,135 | 0,133 |
| H | 1,3 | 4,09 | 0,003 | 0,011 | 1,4 | - | ul. Kwiatowa 13, pomiar przed wejściem - DPP | 0,146 | 0,144 |

„Bez pisemnej zgody Laboratorium niniejsze sprawozdanie nie może być powielane inaczej, jak tylko w całości. Ponadto wyniki dotyczą tylko badanych obiektów przywołanych w niniejszym sprawozdaniu z badań”
11/08/OŚ/2020 - ELT

| | | | | | | | | | |
|---|-------|------|-------|-------|-----|---|--|-------|-------|
| I | 1,4 | 4,41 | 0,004 | 0,012 | 1,5 | - | ul. Kwiatowa 22, pomiar przed wejściem - DPP | 0,157 | 0,1 |
| J | <0,7* | - | - | - | 1,8 | - | ul. Janowiecka 3, pomiar przed wejściem - DPP | - | - |
| K | 0,8 | 2,52 | 0,002 | 0,007 | 1,7 | - | ul. Dworcowa 1B, pomiar przed wejściem - DPP | 0,090 | 0,089 |
| L | 1,0 | 3,15 | 0,003 | 0,008 | 1,4 | - | ul. Janowiecka 2A, pomiar przed wejściem - DPP | 0,112 | 0,111 |
| M | <0,7* | - | - | - | 1,2 | - | ul. Janowiecka 8, pomiar przed wejściem - DPP | - | - |
| N | 1,1 | 3,46 | 0,003 | 0,009 | 1,7 | - | ul. Lipinki 4, pomiar przed wejściem - DPP | 0,124 | 0,122 |
| O | 1,0 | 3,15 | 0,003 | 0,008 | 1,6 | - | ul. Lipinki 2, pomiar przed wejściem - DPP | 0,112 | 0,111 |

* poniżej czułości zestawu pomiarowego

GKP – główne kierunki pomiarowe

PKP – pomocnicze kierunki pomiarowe

DPP – dodatkowe punkty pomiarowe

PP – pion pomiarowy

U – niepewność pomiarowa dla współczynnika rozszerzenia $k=2$

k_E – poprawka pomiarowa badanej instalacji radiokomunikacyjnej podana przez operatora ($k_E=1,65$),

poprawka pomiarowa w przypadku oddziaływania innych instalacji radiokomunikacyjnych na badany obszar ($k_E=2,0$)

WME – wartość wskaźnikowa poziomu emisji pól elektromagnetycznych dla miejsc dostępnych dla ludności dla składowej elektrycznej pola

WMH – wartość wskaźnikowa poziomu emisji pól elektromagnetycznych dla miejsc dostępnych dla ludności dla składowej magnetycznej pola

Przyjęto najniższą dopuszczalną wartość składowej elektrycznej pola dla objętego pomiarami zakresu częstotliwości $\min(ME_{gr})=28,000$ V/m oraz składowej magnetycznej $\min(MH_{gr})=0,075$ A/m.

7. Stwierdzenie zgodności

Na podstawie wytycznych podanych w Rozporządzeniu Ministra Zdrowia z dnia 17 grudnia 2019 r. w sprawie dopuszczalnych poziomów pól elektromagnetycznych w środowisku (Dz.U. 2019 poz. 2448) oraz sposobów sprawdzania dotrzymania tych poziomów zgodnie z Rozporządzeniem Ministra Klimatu z dnia 17 lutego 2020 r. w sprawie sposobów sprawdzania dotrzymania dopuszczalnych poziomów pól elektromagnetycznych w środowisku (Dz.U. 2020 poz. 258) dotyczących źródła wymagań, które muszą być spełnione (załącznik do rozporządzenia Ministra Klimatu z dnia 17 lutego 2020 r. (poz. 258)), w oparciu o zasadę podejmowania decyzji zgodną z pkt 26 załącznika do rozporządzenia Ministra Klimatu z dnia 17 lutego 2020 r. (poz. 258), na podstawie wyników pomiarów pól elektromagnetycznych wykonanych w dniu 14.08.2020r. stwierdzono, iż w miejscach dostępnych dla ludności, dopuszczalne poziomy pól elektromagnetycznych w środowisku, określone w przepisach wydanych na podstawie art. 122 ust. 1 ustawy z dnia 27 kwietnia 2001 r. – Prawo ochrony środowiska, uznaje się za dotrzymane w obszarze pomiarowym, w którym w wyniku zastosowania sposobu sprawdzenia dotrzymania dopuszczalnych poziomów pól elektromagnetycznych w środowisku, udokumentowano, że żadna z wartości wskaźnikowych nie przekracza wartości 1.

8. Oświadczenie.

Wyniki badania odnoszą się wyłącznie do badanego obiektu.

Bez pisemnej zgody sprawozdanie nie może być powielane inaczej, jak tylko w całości.

Uwagi i zastrzeżenia przyjmowane są w formie pisemnej w ciągu 14 dni od daty otrzymania sprawozdania.

9. Spis załączników.

Załącznik 1. Lokalizacja obiektu.

Załącznik 2. Widok pionów pomiarowych

Załącznik 3. Załączniki graficzne.

Koniec sprawozdania

„Bez pisemnej zgody Laboratorium niniejsze sprawozdanie nie może być powielane inaczej, jak tylko w całości. Ponadto wyniki dotyczą tylko badanych obiektów przywołanych w niniejszym sprawozdaniu z badań”

11/08/OŚ/2020 - ELT

Strona 12 z 15

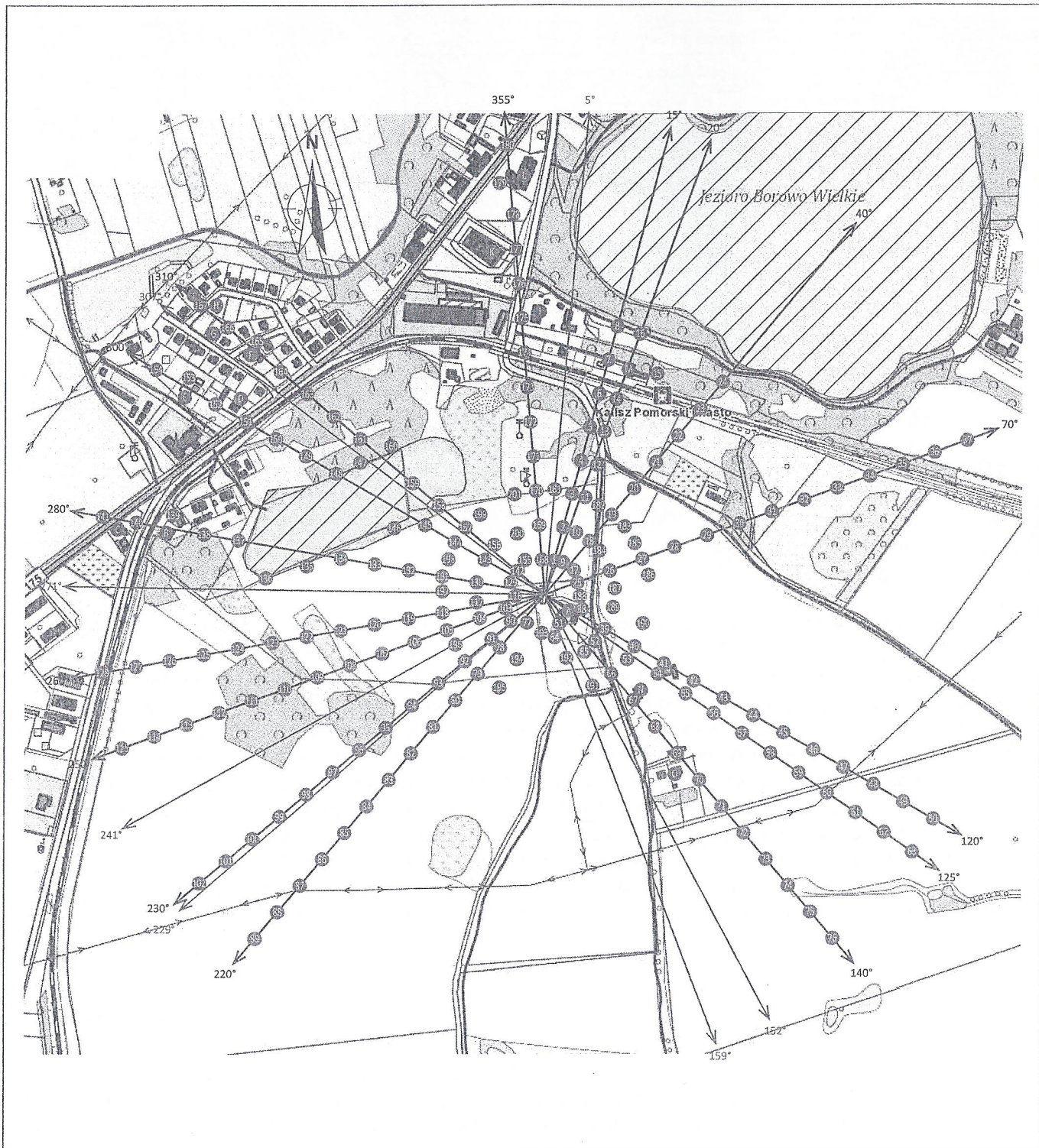
Zał. 1. Lokalizacja obiektu



województwo: zachodniopomorskie

| Współrzędne geograficzne | |
|--------------------------|-------------------|
| długość: | E: 15° 54' 7,06" |
| szerokość: | N: 53° 17' 11,52" |

Załącznik 2. Widok pionów pomiarowych



LEGENDA:

- | | | | |
|---|------------------------------------|---|--|
|  | inna instalacja radiokomunikacyjna |  | punkt pomiarowy z poprawką pomiarową podaną przez operatora |
|  | brak dostępu |  | punkt pomiarowy będący w zasięgu innych instalacji radiokomunikacyjnych z poprawką pomiarową 2,0 |
| | |  | antena sektorowa |
| | |  | antena radioliniowa |

Odległość, do której zostały wykonane pomiary mierząc od instalacji antenowej wynosi min. 635 m.

Skala: 1:8300

Załącznik 3. Załączniki graficzne.

